

ارزیابی فعالیت ضدقارچی فرم‌های نانو و توده‌ای مس اکسید در رقم روشن گندم

وجیهه گنجعلی^۱، منیره چنیانی^۱، پریسا طاهری^۲ و مریم مظاہری تیرانی^۳

^۱گروه زیست‌شناسی، دانشکده علوم، دانشگاه فردوسی مشهد، مشهد، ایران؛ ^۲گروه گیاه‌پزشکی، دانشکده کشاورزی، دانشگاه فردوسی مشهد، مشهد، ایران؛ ^۳گروه

زیست‌شناسی، دانشکده علوم، دانشگاه جیرفت، جیرفت، ایران

مسئول مکاتبات: منیره چنیانی، cheniany@um.ac.ir

چکیده. گندم (*Triticum aestivum* L.) یکی از مهم‌ترین غلات زیرکشت در جهان و ایران، هرساله توسط بیماری‌های زیادی از جمله بیماری‌های قارچی چکیده. گندم می‌شود. با توجه به ویژگی‌های منحصر به فرد نانوذرات، نانوذره مس اکسید پتانسیل بالای در خواص ضدبacterیایی و ضدقارچی از خود نشان می‌دهد. هدف از تحقیق حاضر بررسی مقایسه‌ای اثر ضدقارچی نانوذره مس اکسید و فرم توده آن بر سرکوب قارچ *Fusarium calmorum* گندم است. به این منظور آزمایش گلدنی با تیمارهای ۴ سطح (۱۰، ۲۵۰، ۵۰۰ و ۱۰۰۰ میلی‌گرم در لیتر) نانوذره و فرم توده مس اکسید بر گندم رقم روشن آلوه به قارچ فوزاریوم منظور آزمایش گلدنی با تیمارهای ۴ سطح (۱۰، ۲۵۰، ۵۰۰ و ۱۰۰۰ میلی‌گرم در لیتر) نانوذره ریشه در غلظت بالای نانوذرات نسبت به فرم توده آن صورت گرفت. غلظت‌های ۲۵۰ و ۵۰۰ میلی‌گرم در لیتر نانوذرات مس اکسید به ترتیب، باعث بیشترین طول ساقه و ریشه و بیشترین وزن خشک بخش هوایی و ریشه شدنند. تیمار با غلظت‌های میانه نانوذرات (۱۰ و ۲۵۰ میلی‌گرم در لیتر)، محتوای کلروفیل *a*، کاروتینوئید، ضریب پایداری کلروفیل، ضریب پایداری غشاء و محتوای نسبی آب برگ را افزایش داد. در حالی که با افزایش غلظت هردو فرم نانوذره و فرم توده، محتوای کلروفیل *a*, مالون‌دی‌آلدئید، پراکسید هیدروژن و پرولین نمونه‌ها افزایش یافت. نتایج این تحقیق نشان داد که غلظت‌های کم و میانه فرم نانو اکسید مس بر مهار قارچ مذکور در گندم نسبت به فرم توده‌ای آن موفق‌تر بوده است.

واژه‌های کلیدی. گندم نان، سرکوب بیماری، مکانیسم دفاعی، نانوتکنولوژی، *Fusarium calmorum*

Evaluation of antifungal activity of nano and bulk forms of copper oxide in wheat (Roshan cultivar)

Vajih Ganjeali¹, Monireh Cheniany¹, Parisa Taheri² & Maryam Mazaheri-Tirani³

¹Department of Biology, Faculty of Science, Ferdowsi University of Mashhad, Mashhad, Iran; ²Department of Plant protection, Faculty of Agriculture, Ferdowsi University of Mashhad, Mashhad, Iran; ³Department of Biology, Faculty of Science, University of Jiroft, Jiroft, Iran

Correspondent author: Monireh Cheniany, cheniany@um.ac.ir

Abstract. Wheat (*Triticum aestivum* L.), as one of the most important cultivated crops in the world and Iran, is constantly threatened by many diseases, including *Fusarium* contamination. Due to the unique characteristics of nanoparticles, copper oxide nanoparticles show high antibacterial and antifungal properties. The purpose of this research was to comparatively investigate the antifungal effects of copper oxide nanoparticles and its bulk form on the suppression of *Fusarium calmorum* in wheat. For this purpose, a pot experiment was done with four levels (10, 250, 500, and 1000 mg L⁻¹) of nanoparticles and bulk form of copper oxide treatments in wheat (Roshan cultivar). The results showed that the maximum inhibition of root pathogenicity was observed in a high concentration of nanoparticles as compared to bulk form. The 250 and 500 mg L⁻¹ concentrations of copper oxide nanoparticles caused the highest stem and root length and the highest dry weight of the aerial part and root, respectively. Treatment with 10 and 250 mg L⁻¹ nanoparticles also increased the content of chlorophyll *a*, total chlorophyll, carotenoid, chlorophyll stability index, membrane stability coefficient, and relative leaf water content. While the content of chlorophyll *b*, malondialdehyde, hydrogen peroxide, and proline increased with the increasing concentration of both nanoparticle and bulk forms. The results of this research showed that the low and medium concentrations of nanoparticles were more successful in inhibiting the aforementioned fungus than the bulk form.

Key words. Defense mechanism, Disease suppression, *Fusarium calmorum*, Nanotechnology, Wheat

مقدمه

دیواره ضخیم ایجاد می‌کند که دارای سطح شکمی و پشتی خمیده است (Wagacha et al., 2007). این قارچ می‌تواند به صورت کلامیدوسپور، کنیدیوم و میسیلیوم در خاک، همچنین در باقی مانده‌های گیاه میزبان و در بذر گندم (*T. aestivum*) و جو (*H. sativum*) وجود داشته باشد. الودگی‌های طوقه و ریشه گندم می‌تواند در اوایل مرحله گیاهچه‌ای اتفاق بیافتد و در ادامه باعث مرگ گیاهچه شود (Scherm et al., 2013). چندین راهکار برای مدیریت بیماری فوزاریوم و مایکوتوكسین تولید شده، از جمله تناب و زراعی، مقاومت ژنتیکی، استفاده از عصاره‌های گیاهی و اسانس‌ها، کنترل شیمیایی و بیولوژیکی استفاده می‌گردد. اخیراً مطالعات مختلفی از فناوری نانو در کنترل بیماری‌های گیاهی استفاده شده است. استفاده هوشمندانه از موادشیمیایی در مقیاس نانو می‌تواند راه حل مناسبی برای غلبه بر این مشکل باشد (Tiwari et al., 2020).

نانو تکنولوژی ابزاری خارق‌العاده است که با تغییر در خواص مواد (مقیاس، توزیع و شکل ذرات)، امکانات فوق‌العاده‌ای را برای استفاده آن در زمینه‌های مختلف فراهم می‌کند (Ibrahim et al., 2022). نانوذرات اکسیدفلزی به دلیل کاربرد قابل‌توجه آن‌ها در زمینه‌های مختلف از جمله علوم زیستی، پزشکی، فناوری مواد‌غذایی، الکترونیک، علوم انرژی، صنایع شیمیایی، انتقال دارو و حسگرهای زیستی از محبوبيت گسترده‌ای برخوردار هستند (El Shafey et al., 2020). همچنین مطالعات پایه‌ای نشان داده است که استفاده از ذرات نانو فلزی می‌تواند در افزایش تولید بذر، رشد و حمایت گیاه، افزایش مقاومت در برابر بیماری و آفات و تشخیص باقی‌مانده علف‌کش‌ها در زمینه زیست‌شناسی گیاهی و کشاورزی کاربرد داشته باشد (Ashkanvand et al., 2019). این بین اثرات ضدمیکروبی ذرات نانوفلزی بر روی قارچ‌ها، باکتری‌ها و ویروس‌ها نیز مورد مطالعه قرار گرفته است (Kazemian et al., 2019).

عنصر مس به دلیل چند عملکرد بودن آن یک ریزمندی کلیدی و ضروری برای گیاهان است که در فرآیندهای فیزیولوژیکی متعدد مانند فتوسنترز، تنفس، متابولیسم کربن و نیتروژن، ساخت پروتئین‌ها، لیپید و هورمون‌ها، بیان ژن، استحکام ساختاری و عملکردی غشاء‌های زیستی، محافظت در شروع خط دفاعی، و سوخت و ساز آکسین نقش دارد (Asadi et al., 2013). نانوذرات اکسیدمس (CuO NPs) خواص فیزیکی و شیمیایی جذابی از جمله سطح بزرگ، پتانسیل ردکس مناسب، فعالیت الکتروشیمیایی عالی، رسانایی فوق‌گرمایی و پایداری خوب از خود نشان می‌دهند. که در

امروزه رشد جمعیت جهان، خشکسالی، کمبود آب، محدودیت زمین‌های کشاورزی، تغییر اقلیم، بیماری‌ها و آفات تهدیدهای اصلی امنیت غذایی پایدار هستند. از این بین سهم بیماری‌ها و آفات، در کاهش عملکرد محصولات زراعی بین ۲۰ تا ۴۰ درصد گزارش شده است (Borgatta et al., 2018). گندم (*Triticum aestivum* L.) یکی از گسترده‌ترین و مهم‌ترین غله کشت شده و ماده غذایی اصلی برای مصرف انسان در سراسر جهان است که به عنوان منبع اصلی کربوهیدرات‌ها و منبع قابل‌توجهی از پروتئین‌ها، یون‌ها و ویتامین‌ها در نظر گرفته می‌شود (Kumar et al., 2011). همچنین گندم (*T. aestivum*) به عنوان یکی از محصولات کلیدی، نقش مهمی در زنجیره غذایی ساکنان مناطق شهری و روستایی ایران دارد (Ghahremaninejad et al., 2021). علی‌رغم افزایش عدمه عملکرد این محصول در سال‌های اخیر برخی از مشکلات از جمله تنش‌های زیستی و در این میان بیماری‌ها و عوامل در گیرکننده ریشه‌ی گندم پتانسیل عملکرد این محصول را کاهش داده است (Parry et al., 1995).

فوزاریوم (*Fusarium* spp.) یکی از مهم‌ترین قارچ‌های بیماری‌زا است که موجب پوسیدگی طوقه و ریشه گندم می‌شود. با توجه به تغییرات آب‌وهوایی ناشی از گرم شدن کره زمین و رطوبت بالا، شرایط مطلوب برای گسترش این بیماری در سراسر جهان فراهم شده است (Desai et al., 2020). شروع عفونت گونه‌های فوزاریوم در گندم با کلونیزه کردن میانگرهای پایینی و ایجاد نکروز در قسمت ریشه و در نهایت پوسیدگی طوقه هستند (Winter et al., 2019). اثر منفی گونه‌های بیماری‌زا (*Fusarium* spp. در کشاورزی به دلیل متابولیت‌های ثانوی (Mycotoksin‌ها) از جمله دئوکسی نیوالنول (DON)، نیوالنول (NIV)، سم (T-2) و زئارالنون (ZEN) است (Woźniak et al., 2021). از اثرات مایکوتوكسین‌ها بر سلول‌های یوکاریوتی می‌توان به مهار سنتز پروتئین، RNA و DNA، مهار عملکرد میتوکندری، تاثیر بر تقسیم سلولی و عمل غشاء و همچنین القای آپوپتوز اشاره داشت. بسیاری از مایکوتوكسین‌ها از جمله فومونیزین‌ها و تریکوتین‌ها در برابر حرارت مقاومت دارند از این رو تنها راه جلوگیری از تاثیر آن‌ها، جلوگیری یا کاهش تولید و گسترش آن‌ها در مزارع کشاورزی است (Pellan et al., 2020). یکی از ۲۰ گونه‌ی مهم فوزاریوم است که باعث پوسیدگی طوقه و ریشه و در نهایت مرگ گیاهچه می‌شود. این گونه یک قارچ همی‌بیوتروف است که به گیاهان گندم (*T. aestivum*), جو (*Hordeum sativum* L.), جو (*Z. mays* L.) و ذرت (*Zea mays* L.) حمله می‌کند. ماکروکنیدی کوتاه با

پیشرفت و گسترش علم نانوتکنولوژی و اثرات گسترده آن فرصت‌هایی را برای کشف اثرات ضدقارچی نانوذرات فلزی ایجاد کرده است. هدف از انجام این پژوهش توانایی در *CuO NPs* در مقایسه با فرم توده‌ای آن، در مهار و کنترل قارچ *F. culmorum* در گندم (*T. aestivum*) به عنوان مهم‌ترین غله زیرکشت است تا شاید بتوان تا حد بسیار زیادی از این ویژگی در جهت کنترل خسارت‌های قارچی بر غلات و به ویژه گندم بهره برد.

مواد و روش‌ها

پژوهش حاضر به منظور بررسی تاثیر پیش‌تیمار بذری *CuO NPs* و فرم توده ای آن (*CuO bulk*) بر مهار قارچ *F. culmorum* گندم، در قالب طرح کاملاً تصادفی به اجراء در آمد. نانوذرات *CuO NPs* و فرم توده از شرکت 'نانوتك ایتالیا' خریداری شدند. بذرگندم رقم 'روشن' از سایت بوخاری اتحادیه *F. culmorum* کشاورزی دانشگاه فردوسی مشهد تهیه شد.

پیش‌تیمار بذری با فرم‌های مختلف مس اکسید

در ابتدا بذرهای گندم در اتانول ۷۰ درصد (V/V) (۱ دقیقه) و هیپوکلریت سدیم ۱/۲۵٪ درصد (W/V) (۱۰ دقیقه) ضدغونی و سپس با آب‌مقطار استریل، شست و شو داده شدند (Soltani et al., 2016). جهت تهیه غلظت‌های ۱۰، ۲۵۰، ۵۰۰ و ۱۰۰۰ میلی‌گرم در لیتر، مقدار مشخص فرم‌های نانومس اکسید و توده آن در آب دیونیزه حل و به مدت ۴۰ دقیقه و دمای ۳۰ درجه سانتی‌گراد، در حمام التراسونیک قرار داده شد. پس از آن بذور جهت پیش‌تیمار بذری، به مدت ۱ ساعت در محلول‌های مذکور قرار گرفتند و پس از پایان این زمان آماده کشت شدند.

تهیه مایه قارچ

منظور تکثیر، جدایه قارچ *F. culmorum* در محیط PDA، دیسک‌های ۷ میلی‌متری از قارچ خالص‌سازی شده، برداشته و در شرایط استریل در محیط کشت PDA کشت شدند و در انکوباتور با دمای ۲۸ درجه سانتی‌گراد به مدت ۷ روز قرار داده شدند. به منظور تهیه مایه قارچ از روش آلوده‌کردن بذور گندم به قارچ استفاده گردید. بر طبق این روش، ابتدا بذرهای گندم به مدت ۲۴ ساعت در آب‌مقطار خیسانده شد. سپس دو روز متوالی در انوکلاو (دما ۱۲/۲۱ درجه سانتی‌گراد و فشار ۱ اتمسفر) ستون شدند. پس از آن دیسک‌های میسیلیومی به قطر ۴ میلی‌متر از کشت‌های ۷ روزه جدایه‌ها از روی محیط کشت PDA برداشته و به هر پتربی دیش حاوی ۱ گرم گندم‌های ستون اضافه گردید. پتربی‌های ۲ هفته در فضای انکوباتور با دمای ۲۸

زمینه‌هایی از جمله کاتالیز، فعالیت‌های ضدقارچی و ضدبacterیایی و پاسخ‌های آنتی‌اکسیدانی موفق بوده است (Badawy et al., 2021). گزارش شده است پتانسیل ضدقارچی *CuO NPs* در مقابل انواع وسیعی از قارچ‌ها به دلیل نسبت بسیار بالا سطح به حجم است به گونه‌ای که سلول قارچی را با تخریب غشاء سلولی، تشکیل کمپلکس با پروتئین و تخریب ماده ژنتیکی از بین می‌برد و به عنوان یک عامل ضدمیکروبی مستقیم به شمار می‌رود (Bondarenko et al., 2012). همچنین اثرات ضدقارچی *CuO NPs* بیشتر از سایر نانوذرات مانند آلمینیوم، آهن، روی، نیکل، منگنز گزارش شده است (Viet et al., 2016). نکته حائز اهمیت آن است که *CuO NPs* در غلظت‌های بهینه برای پستانداران بی خطر است و تنها Hsiao et al., 2006 بر پایه نتایج یک مطالعه گلخانه‌ای مشخص شد که استفاده از *CuO NPs* به صورت محلول‌پاشی، منجر به کاهش *F. oxysporum* f. sp. (۷۰ درصد) ناشی از قارچ *Alternaria solani* و *Lycopersici* گوجه‌فرنگی (*Solanum lycopersicum* L.) می‌شود (Saharan et al., 2015). نتایج حاصل از بررسی اثر ضدقارچی *CuO NPs* بر هندوانه (*Citrullus lanatus*) آلوده به *F. oxysporum* f. sp. *niveum* نانوذرات در غلظت‌های کم (۱۰ میلی‌گرم در لیتر)، منجر به کاهش بیماری می‌شود (Borgatta et al., 2018). تایید شده است بیان وابسته به زمان سه ژن دفاعی گیاه گوجه‌فرنگی (فعال کننده رونویسی ژن‌های مرتبط با پاتوژن PTI5)، پلی‌فنل-اکسیداز (PPO) و پروتئین مقاومت گیاهی A1 (PRP1A1) به طور منحصر به‌فردی توسط *CuO NPs* تعديل شده است (Ma et al., 2019). در پژوهشی اثر فعالیت ضدقارچی *CuO NPs* بر سرکوب قارچ *Alternaria solani* در شرایط آزمایشگاهی (رشد میسیلیوم قارچ و جوانه‌زنی اسپور) و اثرات فیزیولوژیکی این ذرات نانو بر بذر گندم (*T. aestivum*) موربد بررسی قرار گرفت و معلوم گردید که مهار جوانه‌زنی اسپور قارچ به میزان ۳۴ الی ۵۰ درصد، بهبود جوانه‌زنی بذر، افزایش طول ریشه و ساقه و افزایش فعالیت آنزیم‌های آنتی‌اکسیدانی از جمله پیامدهای استفاده از این نانوذرات بود (Zakharova et al., 2019). اثر ضدقارچی *CuO NPs* در شرایط آزمایشگاهی بر روی قارچ‌های *Penicillium* *Neofusicoccum* *Penicillium digitatum* و *italicum* *F. solani* *oxysporum* با کاهش رشد قارچ، تغییرات مورفولوژیکی میسیلیوم‌ها همراه بود (Chalandar et al., 2017; Pariona et al., 2019). در نهایت باید اذعان داشت که سرعت

در ۳۵۰۰ دور در دقیقه به مدت ۱۰ دقیقه سانتریفیوژ شد. سپس از محلول روشنوار جهت تعیین محتوای کلروفیل‌ها و کاروتونوئیدها در طول موج‌های ۴۷۰، ۶۴۵ و ۶۶۳ نانومتر استفاده شد. محتوای کلروفیل‌های *a*, *b*, کلروفیل کل و کاروتونوئیدها با استفاده از معادله‌های زیر محاسبه گردید و مقادیر آن‌ها بر حسب میلی‌گرم برگ‌زمین تر نمونه بیان شد (Arnon, 1967). ضرب پایداری کلروفیل نیز از نسبت میزان کلروفیل کل در شرایط تنفس به میزان کلروفیل کل در شرایط بدون تنفس محاسبه گردید (Terzi and Kadioglu, 2006).

Chlorophyll *a* =

$$(12.7 \times A_{663} - 2.59 \times A_{645}) V/W \times 1000$$

Chlorophyll *b* = $(22.9 \times$

$$A_{645} - 2.68 \times A_{663}) V/W \times 1000$$

Carotenoids = $[1000 (A_{470}) - 1.82 (\text{mg chl. a}) - 85.02 (\text{mg chl. b})]/198$

Chlorophyll T = $[20.2 (A_{645}) + 8.02 (A_{663}) V/W] \times 1000$

در این معادله؛ V = حجم نهایی عصاره استونی؛ A = جذب نور در طول موج‌های ۴۷۰، ۶۴۵ و ۶۶۳ نانومتر؛ W = وزن تر نمونه بر حسب گرم است.

محتوای نسبی آب برگ

به منظور اندازه‌گیری محتوای نسبی آب، برگ راسی در پتی‌های پرشده با آب‌مقطار غوطه‌ور شدند. بعد از گذشت ۲۲ ساعت، برگ‌ها از آب خارج و وزن آن‌ها در حالت اشباع اندازه‌گیری شد. سپس برگ‌ها به مدت ۴۸ ساعت در آون با دما ۷۰ درجه‌ی سانتی گراد خشک گردیدند و وزن خشک آن‌ها اندازه‌گیری و محتوای نسبی آب برگ‌ها (درصد) براساس معادله زیر محاسبه شد:

$$\% RWC = [(F.W.-D.W.) / (T.W.-D.W.)] \times 100$$

در این معادله؛ RWC محتوای نسبی آب، $F.W.$ وزن تر برگ، $D.W.$ وزن خشک برگ و $T.W.$ وزن برگ در حالت تورژسانس کامل است (Smart and Bingham., 1974).

شاخص پایداری غشاء

جهت تعیین شاخص پایداری غشاء سلولی، ۰/۱ بافت تر برگ به دو گروه لوله آزمایش حاوی ۱۰ میلی‌لیتر آب دیونیزه انتقال داده شد. گروه اول لوله‌ها به مدت ۳۰ دقیقه درین‌ماری با دما ۴۰ درجه‌ی سانتی گراد و لوله‌های گروه دوم به مدت ۱۰ دقیقه در بن‌ماری با دما ۱۰۰ درجه‌ی سانتی گراد قرار گرفت. پس از تعدیل دما، هدایت الکتریکی آن‌ها با دستگاه EC متر (Mdl Jenway) اندازه‌گیری و طبق معادله زیر میزان شاخص پایداری غشاء (Azizpour et al., 2010) ارزیابی شد.

$$1 - (EC_1 / EC_2) \times 100 = \text{شاخص پایداری غشاء}$$

درجه سانتی گراد نگهداری شدند (Dehghanpour-farashah et al., 2019).

مایه‌زنی گیاهان

به منظور آماده‌سازی بستر کشت، مخلوط خاک شن-رس با نسبت حجمی مساوی (۱:۱) تهییه و تحت دما ۱۲۱ درجه سانتی گراد و فشار یک اتمسفر استریل شد. میزان مس قابل جذب در خاک مورد استفاده، $1/6$ میلی‌گرم بر کیلوگرم است. گلدان‌های ضدعفونی شده با اتابول ۳۰ درصد (v/v) به عنوان یک واحد آرمایشی در نظر گرفته شد. جهت مایه‌زنی گیاهان با قارچ *F. culmorum*، میزان ۳ گرم بذر گندم کلونیزه شده به ازای هر بذر کشت داده شده، در عمق ۳ سانتی‌متری از خاک سترون هر گلدان قرار گرفت. سپس تعداد ۱۰ عدد بذر پیش تیمار یافته با نانوذرات در گلدان‌های مایه‌زنی شده با قارچ کشت شد. گلدان بدون هرگونه تیمار قارچی و پیش تیمار نانوذرات به عنوان کنترل مثبت و گلدان‌هایی که فقط دارای تیمار با قارچ بودند، به عنوان کنترل منفی در نظر گرفته شد. گلدان‌ها در فضای گلخانه تحقیقاتی با دما ۲۵ درجه سانتی گراد نگهداری شدند و پس از گذشت ۳۰ روز جهت بررسی عوامل رشد و فیزیولوژیکی برداشت و وزن تر و خشک با ترازوی دیجیتالی با دقت ۰/۰۰۱ مورد ارزیابی قرار گرفتند. ارتفاع بخش‌هایی و ریشه با خط‌کش میلی‌متری بررسی شد. شدت بیماری‌زایی ریشه براساس تغییر رنگ ریشه و طوقه و برمبنای مقیاس ۵ درجه‌ای مورد بررسی قرار گرفت (Boukaya et al., 2018). به این ترتیب که برای هریک از واحدهای آزمایشی و برمبنای تغییر رنگ ریشه و طوقه درجه‌ای از ۰ تا ۵ داده شد. درجه ۰ این مقیاس = مربوط به ریشه‌های سالم فاقد هرگونه علامت قابل مشاهده بود و درجه ۱ اتا ۲۵ درصد، درجه ۲۶ تا ۵۰ درصد، درجه ۳۱ تا ۷۵ درصد و درجه ۴ بیشتر از ۷۶ درصد تغییر رنگ طوقه و ریشه را نشان دادند و در نهایت درجه ۵ این مقیاس به گیاهان مرده اختصاص یافت. شدت بیماری‌زایی توسط معادله زیر محاسبه شد:

$$\sum (R \times N) \times 100 / (H \times T) = \text{شدت بیماری‌زایی (درصد)}$$

در این معادله، R : درجه اختصاص یافته به تکرار این مطالعه، N : تعداد تکرارهای یک تیمار که درجه موردنظر را دارد، H : بالاترین درجه در نظر گرفته شده در این مطالعه (درجه ۵) و T : تعداد کل تکرارهای مطالعه شده برای یک تیمار است.

سنچش‌های فیزیولوژیکی و بیوشیمیایی

جهت سنچش محتوای کلروفیل‌ها، برگ‌ها پس از توزین، به همراه استون ۸۰ درصد (v/v) سائیده شد. محلول هموژن حاصل

دست آمده با ۲ میلی لیتر معرف نین‌هیدرین و ۲ میلی لیتر اسیداستیک خالص به مدت یک ساعت در بن‌ماری با دما درجه‌سانتی‌گراد قرار داده شد. سپس نمونه‌ها بلافلصله به ظرف حاوی یخ منتقل شد تا واکنش خاتمه یابد. سپس به هر نمونه، ۴ میلی لیتر تولوئن افروده و به مدت ۳۰ ثانیه ورتكس شد. پس از مدت ۲۰ دقیقه، جذب‌نوری محلول فوقانی با استفاده از اسپکتروفوتومتر در طول موج ۵۲۰ نانومتر خوانده شد و با استفاده از منحنی استاندارد، غلظت پروولین براساس میکرومول در گرم وزن تر نمونه گیاهی، مطابق معادله زیر محاسبه شد (Bates et al., 1973).

$$\text{میکرومول پروولین در گرم وزن تر نمونه} = [\text{Prolin} (\mu\text{g}) / \text{ml}] \times \text{Toluen} (\text{ml}) / 115 / 5 (\mu\text{g}/\mu\text{mol}) / \text{sample(g)}/5$$

تجزیه و تحلیل آماری داده‌ها

جهت تجزیه و تحلیل آماری داده‌ها از آنالیز واریانس (ANOVA) و نرم‌افزار SPSS استفاده شد. میانگین داده‌ها توسط آزمون چندامنه‌ای دانکن در سطح احتمال خطاء $P \leq 0.05$ مقایسه شدند.

نتایج

در بررسی نتایج حاصل از آنالیز واریانس، تمامی غلظت‌های نانوذرات مس اکسید و فرم توده‌ای آن اثر معنی‌داری بر پارامترهای شاخص رشد (طول، وزن تر، وزن خشک بخش‌هایی و ریشه) و همچنین درصد بیماری‌زایی ریشه نمونه‌ها نسبت به شاهد در سطح احتمال خطاء $P \leq 0.05$ داشتند (جدول ۱). در تیمار نانوذرات مس-اکسید در غلظت ۲۵۰ میلی گرم در لیتر، بیشترین طول ساقه مشاهده شد. در حالی‌که غلظت ۵۰۰ میلی گرم در لیتر نانوذرات باعث بیشترین افزایش طول ریشه شد. همچنین بیشترین وزن خشک بخش‌هایی و ریشه به ترتیب در تیمارهای ۲۵۰ و ۵۰۰ میلی گرم در لیتر نانوذرات به ثبت رسید و بیشترین وزن تر آن‌ها نیز در غلظت-های ۱۰ و ۲۵۰ میلی گرم در لیتر CuO NPs مشاهده شد. این در حالی است که کمترین مقدار همه شاخص‌های رشد در غلظت ۱۰۰۰ میلی گرم در لیتر فرم توده ذرات اکسید مس مشاهده شد. بر طبق بررسی نتایج، کاهش موققیت‌آمیز در مهار بیماری‌زایی ریشه در غلظت‌های بالا فرم CuO NPs (۵۰۰ و ۱۰۰۰ میلی گرم در لیتر) نسبت به فرم توده، از دیگر نتایج قبل توجه پژوهش حاضر بود به‌طوری‌که با افزایش غلظت نانوذرات، درصد بیماری‌زایی ریشه به طور قابل توجهی کاهش یافت (جدول ۱). این نتایج در چکیده ارایه شده توسط نویسنده‌گان (Ganjeali et al., 2022) ارایه شده است. نمایی از گندم طبیعی، گیاه آلوده به قارچ و گیاهان تیمارشده در شکل ۱ ارایه شده است.

در این معادله؛ EC_1 هدایت‌الکتریکی اولیه و EC_2 هدایت-الکتریکی ثانوی است.

محتوای پراکسید هیدروژن

محتوای پراکسید هیدروژن براساس واکنش پراکسید هیدروژن با ییدید پتانسیم (KI) تعیین شد. در این روش ۵/۰ گرم از بافت تازه برگ در تری‌کلرواستیک‌اسید ۱/۰ درصد (W/V) سرد سائیده شد. عصاره‌ی حاصل به مدت ۱۵ دقیقه در ۱۰۰۰۰ دور در دقیقه سانتریفیوژ شد. سپس به ۵۰۰ میکرولیتر از محلول رویی، ۵۰۰ میکرولیتر بافر فسفات پتانسیم ۱۰ میلی‌مولار (pH = ۷) و ۱ میلی‌لیتر یدورپتانسیم (KI) ۱ مولار اضافه گردید. جذب هر نمونه در طول موج ۳۹۰ نانومتر خوانده شد و طبق معادله زیر و با استفاده از ضریب خاموشی ($\epsilon = 288 / 0.288$) مقدار پراکسید هیدروژن بر اساس میکرومول در گرم وزن تر محاسبه شد (Velikova et al., 2000).

$$A = \epsilon b c$$

در این معادله؛ A: جذب نمونه مورد نظر؛ ϵ : ضریب خاموشی؛ b: عرض کووت ۱ سانتی‌متر؛ c: غلظت بر حسب میکرومول در گرم وزن تر است.

محتوای مالون دی‌آلدئید

سنچش پراکسیداسیون لیپیدهای غشاء براساس تشکیل کمپلکس مالون دی‌آلدئید حاصل از پراکسیداسیون لیپیدهای غشاء با اسیدتیوبارتوریک انجام شد. به این منظور بافت تر برگ با اسیدتی‌کلرواستیک ۱/۰ درصد (W/V) همگن شد. هموژن حاصل به مدت ۵ دقیقه و در ۱۰۰۰۰ دور در دقیقه سانتریفیوژ گردید. سپس محلول‌شناور با محلول اسیدتی‌کلرواستیک ۲۰ درصد (W/V) که حاوی اسیدتیوبارتوریک ۵/۰ درصد (W/V) بود، مخلوط شد. محلول حاصله به مدت ۳۰ دقیقه در بن‌ماری با دمای ۹۰ درجه سانتی‌گراد قرار گرفت و بعد از این مرحله تا رسیدن به دما محیط به حمام یخ منتقل شد. در مرحله بعد مجدداً به مدت ۱۰ دقیقه و در ۱۰۰۰۰ دور در دقیقه سانتریفیوژ شد. جذب نوری هر یک از نمونه‌ها در طول موج ۵۳۲ نانومتر با استفاده از اسپکتروفوتومتر خوانده شد. جذب سایر ترکیبات غیراختصاصی، در ۶۰۰ نانومتر از میزان جذب در ۵۳۲ نانومتر کسر شد. در نهایت برای محاسبه غلظت مالون دی‌آلدئید، از ضریب خاموشی ($\epsilon = 155 / 0.155 \text{ cm}^{-1}$) استفاده و براساس واحد میکرومول در گرم وزن تر محاسبه شد (Health and Packer, 1968).

غلظت پروولین

برای استخراج پروولین ابتدا ۰/۲ گرم از بافت تر برگ در ۵ میلی‌لیتر اسیدسولفوسالیسیلیک ۳ درصد (W/V) سائیده شد تا همگنای یکنواختی به دست آمد. سپس هموژن حاصل به مدت ۱۰ دقیقه در ۴۰۰۰ دور در دقیقه سانتریفیوژ شد. ۲ میلی‌لیتر از محلول روشنایر به



شکل ۱- نمایی از گندم (رقم روش) طبیعی (کنترل مثبت)، گیاه آلوهه به قارچ (کنترل منفی)، گیاهان تیمارشده با نانوذرات مس اکسید (nCuO) و گیاهان تیمارشده با فرم توده ذرات مس اکسید (bCuO).

Figure 1. View of natural wheat (Roshan cultivar) (Positive Control), fungal-infected plant (Negative Control), plants treated with copper oxide nanoparticles (nCuO), and plants treated with bulk form of copper oxide particles (bCuO).

میلی گرم بر گرم وزن تر) و کنترل مثبت ($0/99 \pm 0/46$ میلی گرم بر گرم وزن تر) ثبت شدند. بیشترین و کمترین محتوای کلروفیل کل نیز به ترتیب در تیمار غلظت ۲۵۰ میلی گرم در لیتر CuO NPs و نمونه شاهد منفی مشخص شد (شکل ۲C). با افزایش غلظت هر دو فرم CuO NPs و CuO bulk، ضربی پایداری کلروفیل نسبت به نمونه های شاهد کاهش یافت به طوری که بیشترین ضربی پایداری کلروفیل در غلظت ۱۰ میلی گرم در لیتر فرم نانو ذرات ($1/14 \pm 38/65$ میلی گرم بر گرم وزن تر) مشخص گردید. تیمارهای نانو ذرات و فرم توده، محتوای کارتوئید نمونه های تیمارشده را در مقایسه با نمونه های شاهد افزایش دادند ولیکن سطح این تغییرات در تیمار با نانوذرات بیشتر از فرم توده آن بود (شکل ۲E).

رنگیزه های فتوسنتزی

بررسی های پژوهش حاضر نشان داد که محتوای کلروفیل *a* در تمامی غلظت های مس اکسید (فرم نانو و توده) نسبت به شاهد غلظت ۲۵۰ میلی گرم در لیتر CuO NPs $25/16 \pm 0/38$ میلی گرم بر گرم وزن تر) و کمترین مقدار متعلق به کنترل منفی (گیاه شاهد دارای تیمار قارچ) ($0/78 \pm 6/92$ میلی گرم بر گرم وزن تر) و به دنبال آن، تیمار 1000 میلی گرم در لیتر فرم توده ذرات ($0/44 \pm 9/14$ میلی گرم بر گرم وزن تر) بود (شکل ۲A). بیشترین محتوای کلروفیل *b* در غلظت 1000 میلی گرم در لیتر فرم CuO bulk ($0/90 \pm 17/89$ میلی گرم بر گرم وزن تر) و کمترین مقدار آن در غلظت 10 میلی گرم در لیتر CuO NPs ($0/70 \pm 11/73$)

جدول ۱- تأثیر تیمار با نوذرات مس اکسید (nCuO) و فرم توده‌ای آن (bCuO) بر بخی صفات رشد و درصد بیماری‌زایی در گندم رقم روش. مقادیر میانگین سه تکرار است. حروف یکسان بیانگر عدم اختلاف معنی‌دار بر مبنای آزمون دانکن در سطح $P \leq 0.05$ است. nCuO فرم نانو ذرات و bCuO فرم توده‌ای ذرات است.

Table 1. Effect of copper oxide nanoparticles and copper oxide bulk on the growth and disease severity indices in wheat (Roshan cultivar). Each data is the mean of 3 independent replicates; values with the same letter did not significantly differ at $P \leq 0.05$ levels based on the Duncan test. nCuO is the nanoparticle form and bCuO is the bulk form of the particle.

| Treatment (mg L ⁻¹) | Stem Length (Cm) | Root Length (Cm) | Shoot Dry Weight (g) | Root Dry Weight (g) | Shoot Fresh Weight (g) | Root Fresh Weight (g) | Disease Severity Index (%) |
|---------------------------------|------------------|------------------|----------------------|---------------------|------------------------|-----------------------|----------------------------|
| Positive Control | 28.8333 f | 18.31 g | 0.2107 f | 0.0467 e | 3.1667 f | 1.95 g | 0 |
| Negative Control | 25.4333 g | 12.16667 h | 0.1377 g | 0.0267 f | 1.8033 g | 0.76 h | 99.8767 a |
| nCuO 10 | 36.4333 b | 24 d | 0.407 b | 0.10 c | 6.2333 a | 4.5533 b | 84.4533 b |
| nCuO 250 | 37.8333 a | 26.16667 b | 0.5057 a | 0.11 b | 5.3067 b | 5.7267 a | 65 d |
| nCuO 500 | 35.1333 bc | 28.03833 a | 0.2837 d | 0.12 a | 4.39 d | 3.2777 d | 39.1867 e |
| nCuO 1000 | 30.5 e | 22 e | 0.2173 f | 0.0677 d | 3.25 e | 2.3967 fg | 26.6667 f |
| bCuO 10 | 34.5 cd | 25.08333 c | 0.4213 b | 0.1 b | 4.97 bcd | 3.97 c | 87.59 b |
| bCuO 250 | 33.175 d | 24.25 cd | 0.3207 c | 0.0767 cd | 4.4577 cd | 3.0257 de | 76.35 c |
| bCuO 500 | 31.5167 e | 21.83333 e | 0.275 d | 0.0673 d | 5.217 bc | 2.57 ef | 61.9567 cd |
| bCuO 1000 | 30.1667 e | 20.33333 f | 0.25 e | 0.0433 e | 3.3543 e | 2.3 fg | 56.4767 d |

محتوای مالون دی‌آلدئید: روند تغییرات محتوای مالون دی-

آلدئید در گیاهان آلوده، کاملا مشابه با روند تغییرات محتوای پراکسیدهیدروژن بود و براین اساس، با افزایش غلظت تیمارهای نانوذرات و فرم توده، روند افزایشی در این صفت دیده شد. درصد افزایش محتوای در غلظت ۱۰۰۰ میلی‌گرم در لیتر CuO bulk به ترتیب ۲۱۷/۷۹ و ۱۵۴/۰۶ و در غلظت ۱۰۰۰ میلی‌گرم در لیتر CuO NPs به ترتیب ۲۱۷/۷۹ و ۱۶۴/۳۰ و ۱۱۱/۲۹ در مقایسه با کنترل مثبت و کنترل منفی بودند (شکل ۳D).

غلظت پرولین: همانطور که در شکل ۳E مشخص است غلظت پرولین گیاهان تیمار یافته با غلظت ۱۰۰۰ میلی‌گرم در لیتر ذرات نانو و فرم توده، به ترتیب با مقدار ۰/۰۱۵ ± ۰/۰۹۹ و ۰/۰۲۱ ± ۰/۰۷۹ میکرومول بر گرم وزن تر، در بیشینه محتوا قرار گرفتند و بقیه تیمارها، موجب سطح کمتری از محتوای پرولین شدند. همچنین سطح پرولین نمونه کنترل منفی بیشتر از نمونه کنترل مثبت به ثبت رسید.

بحث

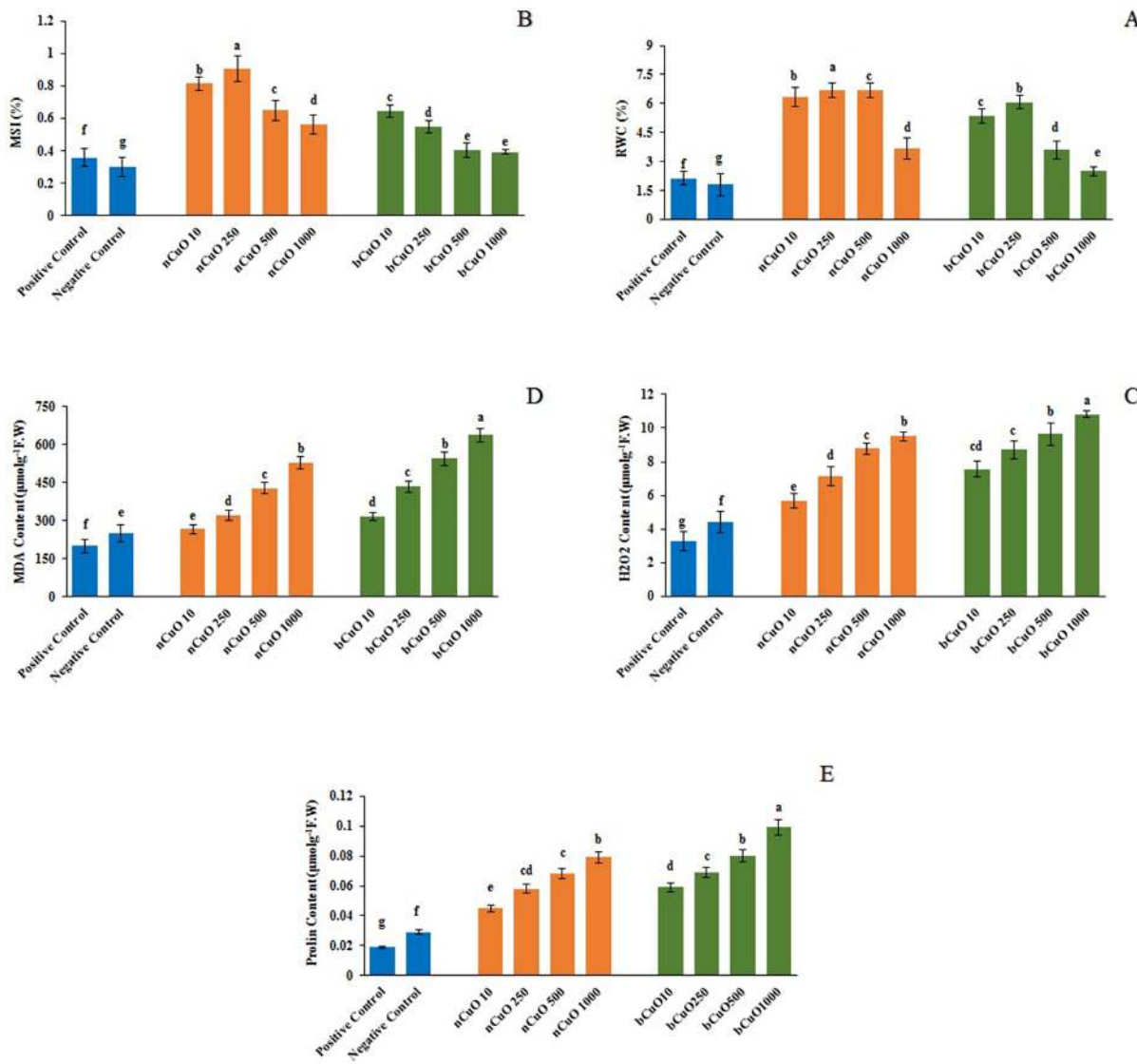
در علوم گیاهی، نانوذرات فلزی به دلیل خواص فیزیکوشیمیایی منحصر به فرد خود از جمله نسبت سطح به حجم زیاد، پایداری ساختاری و میل ترکیبی قوی به هدف، نقش مهمی در حفاظت از محصولات زراعی ایفا می‌کنند (Wu et al., 2021). در میان نانوذرات فلزی پیشرو، مس محبوب‌ترین و به عنوان تنها ماده ضد میکروبی جامد ثبت شده است. به این ترتیب، این فلز پتانسیل زیادی برای استفاده به تنها یکی، یا برای ادغام با قارچ‌کش‌های موجود و اقدامات کنترلی، برای بهبود عملکرد قارچ‌کش دارد (Oussou-Azo et al., 2020).

مجموعه شاخص‌های بیوشیمیایی

محتوای نسبی آب برگ: بررسی محتوای نسبی آب نشان داد که آلودگی با قارچ (کنترل منفی) موجب کاهش این صفت (نسبت به کنترل مثبت) می‌گردد. همچنین تیمار با هر دو فرم CuO NPs و CuO bulk بر گیاهان آلوده شده با قارچ، موجب افزایش محتوای نسبی آب شد. به طوری که بیشترین مقدار به ثبت رسیده در غلظت ۲۵۰ میلی‌گرم در لیتر فرم نانوذرات و ۳/۷۱ برابر نمونه شاهد منفی بود. این در حالی است که در بیشینه اثر فرم توده ای ذرات (غلظت ۲۵۰ میلی‌گرم در لیتر) بر محتوای نسبی آب، افزایش ۳/۳۷ برابر نسبت به کنترل منفی مشاهده شد (شکل ۳A).

ضریب پایداری غشاء: با افزایش غلظت تیمارهای CuO NPs و فرم CuO bulk بر گیاهان آلوده به قارچ، روند کاهشی در ضریب پایداری غشاء مشاهده شد به طوری که بیشینه شاخص پایداری غشاء در حضور غلظت ۲۵۰ میلی‌گرم در لیتر فرم نانو و نیز در غلظت ۱۰ میلی‌گرم در لیتر فرم توده به ثبت رسید که به ترتیب ۳ و ۲/۷۱ برابر نمونه شاهد منفی بودند (شکل ۳B).

محتوای پراکسید هیدروژن: در بررسی نتایج حاصل از تیمار نانوذرات مس اکسید مشخص گردید که با افزایش غلظت CuO NPs و CuO bulk، افزایش معناداری در محتوای پراکسید هیدروژن حاصل می‌گردد. بیشترین غلظت تیماری از هر دو فرم ذرات مس اکسید (۱۰۰۰ میلی‌گرم در لیتر) موجب بیشینه انباستگی پراکسیدهیدروژن در برگ‌های گندم آلوده به قارچ شدند. نکته قابل توجه آن که، سطح پراکسیدهیدروژن اندازه‌گیری شده در نمونه شاهد منفی (آلوده به قارچ) بیشتر از نمونه شاهد مثبت (گیاه طبیعی) بود (شکل ۳C).



شکل ۳- مقایسه تأثیر تیمار با غلظت‌های مختلف نانوذرات مس اکسید (nCuO) و فرم توده‌ای آن (bCuO) بر محتوای نسبی آب برگ (A)، ضریب پایداری غشاء (B)، محتوای پراکسید هیدروژن (C)، محتوای مالون دی‌آلید (D) و محتوای پرولین (E) در مقایسه با نمونه‌های شاهد، در گدم رقم روشن. مقادیر میانگین سه تکرار است. حروف بیکسان بیانگر عدم اختلاف معنی‌دار بر مبنای آزمون دانکن در سطح $P \leq 0.05$ است. SE ± است.

Figure 3. Comparison of the effect of different concentrations of copper oxide nanoparticles (nCuO) and the bulk form (bCuO) on the relative water content (A), membrane stability index (B), hydrogen peroxide content (C), malondialdehyde content (D) and proline content (E) compared to the controls in wheat (Roshan cultivar). Each data is the mean of 3 independent replicates \pm SE; values with the same letter did not significantly differ at $P \leq 0.05$ levels based on the Duncan test. nCuO is the nanoparticle form and bCuO is the bulk form of the particle.

در (Podosphaera pannosa) و ویروس (benthamiana) (Hao et al., 2018 and 2019) گل رز (Rosa rugosa Thunb.) جلوگیری کنند (Gholami et al., 2018). همچنین سرکوب موفقیت‌آمیز بیماری پژمردگی فوزاریوم ناشی از قارچ *F. oxysporum* توسط نانوذرات مس اکسید در هندوانه (*Citrullus lanatus*) تایید شد (Borgatta et al., 2018). در تحقیق Kazemian و همکاران (2019)، کاربرد نانوذرات مس اکسید سنتز شده موجب مقاومت

نتایج مطالعات حاضر نشان می‌دهد که تمام اشكال مس اکسید (فرم نانو و توده) به صورت وابسته به غلظت موجب مهار رشد هیف قارچ فوزاریوم می‌شوند ولیکن تاثیر فرم نانو، به طور معنی‌داری بیشتر از تاثیر فرم توده است. در مطالعات پیشین مشخص شده است که نانوذرات فلزی و اکسید فلزی این توانایی را دارند تا از عفونت پاتوژن‌های ویروسی، از جمله ویروس شلغم موژائیک (*Nicotiana*) در تنباکو (Turnip Mosaic Virus)

خاک‌های اصلاح شده با CuO NPs (در غلظت‌های ۱۰ تا ۳۰ میلی‌گرم در لیتر) طور قابل توجهی رشد گندم را افزایش داد (Hafeez, 2015). به طور کلی و برمبنای نتایج گزارشات، افزایش غلظت CuO NPs موجب کاهش رشد گیاه می‌شود که علت آن را به افزایش تولید اتیلن و کاهش فعالیت و تولید سیتوکینین، پلی‌آمین‌ها و بازدارندگی گسترش رشد سلول ناشی از اثرات مستقیم و یا غیر مستقیم مس بر متابولیسم یا ساختمان اکسین نسبت می‌دهند (Coombes et al., 1976).

از مهم‌ترین عوامل مؤثر در ظرفیت فتوسنتری هر گیاهی، محتوای کلروفیل‌ها و سایر رنگیزهای فتوسنتری است که در تحقیق پیش رو، کاهش کلروفیل *a*، کلروفیل *b*، ضریب پایداری کلروفیل و کارتوئیدها (به غیر از کلروفیل *b*) در حضور آводگی قارچی به ثبت رسید. همچنین غلظت‌های کم و میانه تیمار با دو فرم CuO bulk و CuO NPs موجب بهبود صفات مذکور در گندم بیمار شده شد؛ هرچند که میزان تاثیرات مثبت ناشی از فرم نانوذرات بهتر از فرم توده ای آن بود. مشابه با نتایج حاضر، غلظت‌های کمتر CuO NPs، رنگیزهای برگ (کلروفیل‌ها و کارتوئیدها) گیاه گوجه‌فرنگی (*Solanum lycopersicum*) (Kazemi et al., 2019) را افزایش داد. علاوه بر این، آلوده به قارچ *F. oxysporum* را افزایش داد. غلظت‌های پایین‌تر CuO NPs توانست میزان فتوسنتر گوجه‌فرنگی را تا ۱۴ درصد (در مقایسه با سطح شاهد) تحریک کند (Saharan et al., 2015). در پژوهشی نیز اسپری پاشی ذرات نانومس اکسید در غلظت کم ۲/۵ و ۵ میلی‌گرم در لیتر، سبب افزایش محتوای کروفیل و کارتوئید جلبک *Scenedesmus dimorphus* شد در حالی که نتیجه با غلظت‌های بالاتر نانوذرات مذکور (۰ او ۲۰ میلی‌گرم در لیتر) بر عکس بود (Baskar et al., 2018). ثابت شده است که نانوذرات فلزی در غلظت‌های پایین می‌توانند ساختار کلروفیل را تقویت کرده و تشکیل رنگیزهای و به دنبال آن، فعالیت‌های متابولیکی را تسهیل کنند. اما در نتیجه تنش حاصل از غلظت بالای نانوذرات فلزی (۵۰۰ و ۱۰۰۰ میلی‌گرم در لیتر پژوهش حاضر)، با توجه به افزایش تشکیل گونه‌های کشنگر اکسیژن (ROS) در کلروپلاست، میزان تخریب غشاها کلروپلاستی نیز افزایش می‌یابد. کلروفیل *b* حساسیت بیشتری در برابر ROS‌ها نشان می‌دهد و به دنبال تخریب غشاها کلروپلاستی و تخریب کمپلکس پروتئینی Chl *a/b* محتوای کلروفیل *b* آزاد در غلظت‌های بالای فرم نانوذره و توده ای افزایش پیدا می‌کند. همچنین فتوسیستم II به جهت دارای بودن تعداد کلروفیل *b* بیشتر، از حساسیت بیشتر به انواع تنش‌ها از جمله تنش اکسیدانتیو برخوردار است. دلیل دیگر کاهش رنگیزه

(*Botrytis cinerea*) در گوجه‌فرنگی (*Solanum lycopersicum* L.) شد. مشخص شده است که عنصر مس در مسیرهای دفاعی گیاه، بهویژه برای عملکرد ریشه‌ها در برابر پاتوژن‌های موجود در خاک، حیاتی هستند. طی مطالعات قبل، با استفاده از میکروسکوپ الکترونی نحوی برهم‌کنش نانوذرات با میکروارگانیسم‌ها را بررسی شده و بیان داشتند که با اتصال نانوذرات، تغییرات ساختمانی و آسیب جدی به سلول پاتوژن وارد می‌شود و به طور خاص، اعمال حیاتی سلول از جمله نفوذ پذیری، فعالیت‌های متابولیکی نظری آنزیم‌های چرخه تنفسی مختل می‌گردد و در نهایت مرگ سلول را به دنبال خواهد داشت (Chwalibog et al., 2010). یون مس جدادشده از ساختار نانوذرات منجر به آسیب جدی به ماده وراثتی DNA می‌شود. نتایج بدست آمده از تاثیر غلظت‌های مختلف نانوذرات مس اکسید نشان داد که غلظت‌های بیشتر این نانوذرات خاصیت قارچ‌کشی بیشتری در مقایسه با فرم توده‌ای آن دارد (Bondarenko et al., 2012).

با توجه به نتایج تحقیق حاضر، آلوده شدن گندم به قارچ فوزاریوم موجب کم شدن صفات رشد و پژمرده شدن گیاه شد که می‌تواند پیامد انسداد آوندهای چوبی توسط این قارچ باشد (Viet et al., 2016). در حالی که تیمار با غلظت‌های بهینه و میانه ذرات مس اکسید، به ویژه فرم نانو آن، موجبات افزایش پارامترهای رشد گیاه را فراهم نمود. در مطالعه‌ای، طول ریشه و ساقه نهال بادمجان (*Solanum melongena* L.) درنتیجه تیمار با غلظت کمتر CuO NPs (۱۰۰ میلی‌گرم در لیتر) در مقایسه با گیاهان شاهد افزایش یافت که می‌تواند مهر تاییدی بر محرك رشد بودن CuO NPs در غلظت‌های رشد گیاه ماش (Baskar et al., 2018). افزایش معیارهای رشد گیاهان گیاه *Vigna radiata* L. (Spanos et al., 2021) در پاسخ به غلظت کم نیز گزارش شده است (Rajput et al., 2020). غلظت‌های بالای فرم CuO bulk و CuO NPs نیز زمینه را برای کاهش طول ساقه و ریشه جو (*H. sativum*) فراهم نمود که علت به اثرات مخرب سلولی نسبت داده شد. در این پژوهش هم نیز همانند تحقیق پیش رو، تیمار با غلظت بالاتر از تیمار با فرم CuO bulk و Rajput et al., 2020). غلظت کم نسبت به غلظت بالاتر ترجیح داده شد (Hossain et al., 2020). علاوه بر این، گزارش که رشد گیاهان گندم اسپری پاشی شده با CuO NPs افزایش یافته است (Coriandrum sativum L.) در مطالعه‌ای دریافتند که وزن تر و خشک گیاهان گشتنیز (DOR: 20.1001.1.24236330.1402.10.1.4.7) [Downloaded from system.knu.ac.ir on 2024-04-28]

Liang et al., 2009) موجب افزایش بار منفی داخل سلول می‌گردد (.

یکی از اولین واکنش‌های هر گیاه به عفونت پاتوژن، تولید انواع ROS در فرآیند انفجار اکسیداتیو است. طبق نتایج، با افزایش غلظت هر دو فرم نانوذرات و فرم توده CuO، افزایش محتوای پراکسیدهیدروژن در برگ گندم به ثبت رسید. به نظر می‌رسد در بین انواع مولکول‌های فعال اکسیژن تولید شده، اندازه‌گیری غلظت H_2O_2 نشانگر خوبی برای توانایی واکنش گیاه در برابر تنفس و شدت آن باشد (Asaeda et al., 2022). در مطالعه‌ای بر روی کتان (*Linum usitatissimum* L.), سویا (*Glycine max* L.), ذرت (*Z. mays*), جو (*H. sativum*), سطوح پراکسیدهیدروژن پس از تلقیح با قارچ‌های *F. culmorum* و *Galindo-González et al., 2016*) به علاوه قرار گرفتن در معرض غلظت‌های بالا منجر به افزایش قابل توجهی در تشکیل پراکسیدهیدروژن NPs گردید (Faraz et al., 2018). در غلظت‌های بالا نانوذرات مس-اکسید، مس اضافی منپراکسید هیدروژن از طریق واکنش‌های هابر-وایس یا از طریق انتقال الکترون فتوسنتزی می‌شود. همچنین گزارش شده است که آسیب اکسیداتیو یکی از دلایل اصلی سمیت نانوذرات است (Husen et al., 2014). شواهد مطالعه حاضر نشان داد با روند افزایشی غلظت هر دو فرم CuO NPs و CuO bulk، محتوای مالون‌دی‌آلدئید گندم آلوده به قارچ افزایش یافت. قطعاً این مساله با افزایش تولید پراکسیدهیدروژن و سایر انواع ROS‌ها مرتبط است که پراکسیداسیون لیپیدهای غشایی و آسیب به آن را در پی خواهد داشت. در مطالعه‌ای مشخص شد که در غلظت‌های بالا نانوذرات CuO، محتوای مالون‌دی‌آلدئید ریشه پیاز (*Allium cepa* L.) نیز به طور معنی داری افزایش می‌یابد. همبستگی مثبت بین محتوای مالون‌دی-آلدئید با غلظت CuO NPs تیمارشده در مطرح شد که نشان دهنده دست دادن بیشتر یکپارچگی غشاء سلول ناشی از قرار گرفتن در معرض Cu^2 در مقایسه با Dai (et al., 2018).

در بسیاری از گیاهان، پرولین آزاد در پاسخ به تحمل طیف-وسيعی از تنش‌های زیستی و غيرزیستی تجمع یافته و یا به گیاه برای دفاع در برابر پاتوژن کمک می‌کند (Yaish, 2015). نتایج پژوهش حاضر نشان داد که گیاهان در حضور قارچ و بدنیال آن، تیمار با هر دو فرم CuO bulk و CuO NPs تجمع زیاد پرولین را بروز می‌دهند. براساس نتایج پیشین تولید پرولین در گیاهان تیمار یافته با هرکدام از فرم نانو و توده، به صورت گرادیان

های فتوسنتزی می‌تواند به دلیل بازدارندگی مراحل مختلف سنتز کلروفیل و رنگیزه‌های دیگر باشد. به نظر می‌رسد که غلظت-های بالای نانوذرات فلزی (از جمله CuO NPs) با بازدارندگی در سطح رونویسی LHCII روند تشکیل این کمپلکس را مختل می‌سازند (Tzvetkova et al., 1996). در مورد کاروتونوئیدها و عملکرد آن‌ها، باید بیان داشت که تغییرات آن‌ها در حین انواع تش می‌تواند راهی موثر در جهت حذف ROS‌ها باشد (Swapnil et al., 2021). از این رو تغییرات افزایشی آن‌ها در زمان غلظت‌های میانه نانوذرات، امری طبیعی در جهت بالابردن سیستم دفاعی محسوب می‌گردد.

محتوای نسبی آب گندمهای تیمارشده در مقایسه با نمونه‌های کنترل افزایش یافت ولیکن تیمار غلظت‌های بالا هر دو فرم CuO bulk و CuO NPs موجب کاهش آن شد. مشابه با این نتایج، مشخص شد که تیمار با غلظت ۲۵ میلی‌گرم در لیتر نانوذرات Fe₃O₄ NPs موجب افزایش محتوای نسبی آب گیاه *Matricaria chamomilla* L. (باونه) کمترین محتوای نسبی آب در گیاهان تیمار شده با ۱۰۰ میلی-گرم در لیتر نانوذرات به دست آمد (Rastegaran et al., 2022). پیشنهاد می‌گردد که در غلظت بالا CuO bulk و CuO NPs یون مس آزادشده از ساختار هردو نوع ذرات در فضای سیتوپلاسم تجمع می‌یابد که ماحصل آن، ایجاد تنش فلزات برای گیاه است. در چنین حالتی گیاه برای سازگاری با شرایط تنش و حفظ بقا، با بستن روزنه‌های خود مانع خروج آب برگ و در نهایت کاهش محتوای نسبی آب برگ می‌شود (Pourakbar et al., 2014).

هرچند تیمار با هردو فرم ذرات CuO bulk و CuO NPs موجب افزایش ضربی‌پایداری غشاء نسبت به نمونه‌های کنترل گندم رقم روشن گردید ولی در غلظت‌های بالا (۵۰۰ و ۱۰۰۰ میلی‌گرم در لیتر)، کاهش ضربی‌پایداری غشاء گندم های کمتر تیمارها قابل توجه بود. مشابه با تحقیق حاضر، در غلظت‌های بالای نانوذرات CuO، ضربی‌پایداری غشاء گندم (*Gossypium hirsutum*) (Etesami et al., 2021)، پنبه (*Arabidopsis thaliana*) به شدت کاهش یافت (Nair et al., 2014). در توجیه این مساله بیان شده است که افزایش غلظت یون مس آزاد شده از ساختار ذرات آزاده‌کننده مس، باعث تولید برخی ترکیبات کنشگر اکسیژن از جمله رادیکال-های سوپراکسید، پراکسید هیدروژن و رادیکال‌های هیدروکسیل می‌شود و در نهایت تمامیت غشای سلولی را تخریب می‌کنند و به طبع آن الکتروولیتها به بیرون از سلول تراویش کرده و این امر

REFERENCES

- Arnon, D.I., Tsujimoto, H.Y. & McSwain, B.D. 1967. Ferredoxin and photosynthetic phosphorylation. *Nature*, 214: 562-566.
- Asadi, M., Zahedi, M., Ehtemam, M. & Khoshgoftarmanesh, A. 2013. The effect of zinc oxide application as nanoparticles on growth and content of four wheat cultivars under saline stress. *Journal Cultural Science and Technology* 25: 25-35.
- Asaeda, T., Rahman, M. & Abeynayaka, H.D.L. 2022. Hydrogen peroxide can be a plausible biomarker in cyanobacterial bloom treatment. *Scientific Reports* 12: 1-11.
- Ashkavand, P., Tabari Koocksra, M. & Zarafshar, M. 2015. Some applications of nanoparticles in plant science. *Journal of Food Science and Agriculture* 125: 65-73.
- Azizpour, K., Shakiba, M.R., Khosh Kholgh Sima, N., Alyari, H., Moghaddam, M., Esfandiari, E. & Pessarakli, M. 2010. Physiological response of spring durum wheat genotypes to salinity. *Journal of Plant Nutrition* 33: 859-873. (In Persian).
- Badawy, A.A., Abdelfattah, N.A., Salem, S.S., Awad, M.F. & Fouda, A. 2021. Efficacy assessment of biosynthesized copper oxide nanoparticles (CuO-NPs) on stored grain insects and their impacts on morphological and physiological traits of wheat (*Triticum aestivum* L.) plant. *Biology* 10: 233. DOI: 10.3390/biology10030233.
- Baskar, V., Nayem, S., Kuppuraj, S.P., Muthu, T. & Ramalingam, S. 2018. Assessment of the effects of metal oxide nanoparticles on the growth, physiology and metabolic responses in *in vitro* grown eggplant (*Solanum melongena*). *Biotech* 8: 1-12.
- Bates, L. S., Waldren, R.P. & Teare, I. D. 1973. Rapid determination of free proline for water-stress studies. *Plant and Soil* 39: 205-207.
- Bondarenko, O., Ivask, A., Käkinen, A. & Kahru, A. 2012. Sub-toxic effects of CuO nanoparticles on bacteria: kinetics, role of Cu ions and possible mechanisms of action. *Environmental Pollution* 169: 81-89.
- Borgatta, J., Ma, C., Hudson-Smith, N., Elmer, W., Plaza Perez, C.D., De La Torre-Roche, R., Zuverza-Mena, N., Haynes, C., White, J. & Hamers, R.J. 2018. Copper based nanomaterials suppress root fungal disease in watermelon (*Citrullus lanatus*): role of particle morphology, composition and dissolution behavior. *ACS Sustainable Chemistry & Engineering* 6: 14847-14856.
- Boukaya, N., Goudjal, Y., Zamoum, M., Chaabane Chaouch, F., Sabau, N., Mathieu, F. & Zitouni, A. 2018. Biocontrol and plant-growth-promoting capacities of actinobacterial strains from the Algerian Sahara and characterization of *Streptosporangium becharensis* SG1 as a promising biocontrol agent. *Biocontrol Science and Technology* 28: 858-873.
- Chalandar, H.E., Ghorbani, H.R., Attar, H. & Alavi, S.A. 2017. Antifungal effect of copper and copper oxide nanoparticles against *Penicillium* on orange fruit. *Biosciences Biotechnology Research Asia* 14: 279-284.
- واسته به غلظت افزایش می یابد. این افزایش غلظت پرولین تحت تنش غلظت‌های بالای نانوذرات فلزی یکی از سازوکارهای حفظ پتانسیل اسمزی گیاه است که می تواند در گونه‌های مختلف گیاهان متفاوت باشد (Kumari et al., 2022). افزایش تجمع پرولین در ریشه گیاهان در معرض قارچ و ذرات مس اکسید ممکن است مکانیسم دفاعی گیاهان برای محافظت از ساختارهای سلولی در برابر آسیب ناشی از تولید بیش از حد ROS ناشی از غلظت‌های بالای ذرات CuO bulk و CuO NPs باشد که به طبع آن با پاسخ‌های آنتی‌اکسیدانی مرتبط است (Yu et al., 2020).

نتیجه‌گیری

به طورکلی استفاده از نانوذرات CuO (در غلظت‌های بهینه و کم) در مقایسه با فرم توده‌ای آن سبب مهار بیشتر بیماری قارچ *F. calmorum* و افزایش شاخص رشد و صفات بیوشیمیایی در گندم رقم روشن شد. بنابراین، با توجه به افزایش سرعت علم نانوکتکنولوژی و اثرات گسترده آن در زمینه‌های مختلف از جمله توانایی مهار و کنترل قارچ و بیماری‌های قارچی احتمالاً می‌توان تا حد بسیار زیادی از این ویژگی در جهت کنترل خسارت‌های قارچ بر غلات و بهویژه گندم بهره برد.

سپاسگزاری

نگارندگان از معاونت پژوهشی دانشگاه فردوسی مشهد بابت تأمین هزینه‌های پژوهش حاضر از محل اعتبارات مرکز این معاونت (با کد طرح به شماره ۳۵۳۰۶) قدردانی می‌نمایند.

- Chwalibog, A., Sawosz, E., Hotowy, A., Szeliga, J., Mitura, S., Mitura, K., Grodzik, M., Orlowski, P. & Sokolowska, A.** 2010. Visualization of interaction between inorganic nanoparticles and bacteria or fungi. International Journal of Nanomedicine 5: 1085. DOI: 10.2147/IJN.S13532.
- Coombes, A.J., Lep, N.W. & Phipps, D.A.** 1976. Effect of copper on IAA oxidase activity in root tissue of barley (*Hordeum vulgare*. c. v. zephyr). Plant Physiology 55: 236-242.
- Dai, Y., Wang, Z., Zhao, J., Xu, L., Xu, L., Yu, X., Wei, Y. & Xing, B.** 2018. Interaction of CuO nanoparticles with plant cells: internalization, oxidative stress, electron transport chain disruption, and toxicogenomic responses. Environmental Science: Nano 5: 2269-2281.
- Dehghanpour-Farashah, S., Taheri, P. & Falahati-Rastegar, M.** 2019. Effect of polyamines and nitric oxide in *Piriformospora indica*-induced resistance and basal immunity of wheat against *Fusarium pseudograminearum*. Biological Control 136: 104006. DOI: 10.1016/j.bioc.2019.104006.
- Desai, S., Dubey, S.C. & Prasad, R.D.** 2020. Impacts of climate change on Fusarium species vis-à-vis adaptation strategies. Indian Phytopathology 73: 593-603.
- Dignam, B.E., Marshall, S.D., Wall, A.J., Mtandavari, Y.F., Gerard, E.M., Hicks, E., Cameron, C., Aalders, L.T., Shi, S. & Bell, N.L.** 2022. Impacts of soil-borne disease on plant yield and farm profit in dairying soils. Journal of Sustainable Agriculture and Environment 1: 16-29.
- El Shafey, A.M.** 2020. Green synthesis of metal and metal oxide nanoparticles from plant leaf extracts and their applications: A review. Green Processing and Synthesis 9: 304-339.
- Etesami, H., Fatemi, H. & Rizwan, M.** 2021. Interactions of nanoparticles and salinity stress at physiological, biochemical and molecular levels in plants: A review. Ecotoxicology and Environmental Safety 225: 112769. DOI: 10.1016/j.ecoenv.2021.112769.
- Faraz, A., Faizan, M., Hayat, S. & Alam, P.** 2022. Foliar Application of Copper Oxide Nanoparticles Increases the Photosynthetic Efficiency and Antioxidant Activity in *Brassica juncea*. Journal of Food Quality 2022. DOI: 10.1155/2022/5535100.
- Galindo-González, L. & Deyholos, M.K.** 2016. RNA-seq Transcriptome Response of Flax (*Linum usitatissimum* L.) to the Pathogenic Fungus *Fusarium oxysporum* f. sp. lini. Frontiers in Plant Science 7: 1766. DOI: 10.3389/fpls.2016.01766.
- Ganjeali, V., Cheniany, M., Taheri, P. & Mazaheri-Tirani, M.** 2022. Evaluation of treatment of copper oxide nanoparticles on inhibition of *Fusarium culmorum* in wheat. 22nd national and 10th international congress on Biology. Shahrekord, Iran.
- Ghahremaninejad, F., Hoseini, E. & Jalali, S.** 2021. The cultivation and domestication of wheat and barley in Iran, brief review of a long history. The Botanical Review 87: 1-22.
- Hafeez, A., Razzaq, A., Mahmood, T. & Jhanzab, H.M.** 2015. Potential of copper nanoparticles to increase growth and yield of wheat. Polymers for Advanced Technologies 1: 6-11.
- Hao, Y., Fang, P., Ma, C., White, J.C., Xiang, Z., Wang, H., Zhang, Zh., Rui, Y. & Xing, B.** 2019. Engineered nanomaterials inhibit *Podosphaera pannosa* infection on rose leaves by regulating phytohormones. Environmental Research 170: 1-6.
- Hao, Y., Yuan, W., Ma, C., White, J. C., Zhang, Z., Adeel, M., Zhou, T., Rui, Y. & Xing, B.** 2018. Engineered nanomaterials suppress Turnip mosaic virus infection in tobacco (*Nicotiana benthamiana*). Environmental Science: Nano 5: 1685-1693.
- Health, RL. & Packer, L.** 1968. Photoperoxidation in isolated chloroplast. I. Kinetics and stoichiometry of fatty acid peroxidation. Archives of Biochemistry and Biophysics 125: 189-198.
- Hossain, Z., Yasmeen, F. & Komatsu, S.** 2020. Nanoparticles: synthesis, morphophysiological effects, and proteomic responses of crop plants. International Journal of Molecular Sciences 21: 3056. DOI: 10.3390/ijms21093056.
- Hsiao, M.T., Chen, S.F., Shieh, D.B. & Yeh, C.S.** 2006. One-pot synthesis of hollow Au3Cu1 spherical-like and biomimetic botallackite Cu2(OH)3Cl flowerlike architectures exhibiting antimicrobial activity. The Journal of Physical Chemistry B 110: 205-210.
- Husen, A. & Siddiqi, K. S.** 2014. Photosynthesis of nanoparticles: concept, controversy and application. Nanoscale Research Letters 9: 1-24.
- Ibrahim, A.S., Ali, G.A., Hassanein, A., Attia, A.M. & Marzouk, E.R.** 2022. Toxicity and uptake of CuO nanoparticles: Evaluation of an emerging nanofertilizer on wheat (*Triticum aestivum* L.). Plant Sustainability 14: 4914. DOI: 10.3390/su14094914.
- Kazemi, M. & Shariati, F.** 2019. The effect of Copper Oxide nanoparticle on pigments systems of algae *Scenedesmus dimorphus*. Biological Journal of Microorganism 8: 13-25.
- Kazemian, S., Zarrinnia, V., Khosroshahli, M. & Hasanzadeh, N.** 2019. Investigation on the control effects of green copper oxide (CuO) nanoparticles on the tomato gray mold disease caused by *Botrytis cinerea*. Iranian Journal of Medicinal and Aromatic Plants 35: 54-67. (In Persian)
- Ksieniewicz-Woźniak, E., Bryla, M., Michałowska, D., Waśkiewicz, A. & Yoshinari, T.** 2021. Transformation of Selected *Fusarium* Toxins and Their Masked Forms during Malting of Various Cultivars of Wheat. Toxins 13: 866. DOI: 10.3390/toxins13120866.
- Kumar, P., Yadava, R.K., Gollen, B., Kumar, S., Verma, R.K. & Yadav, S.** 2011. Nutritional contents and medicinal properties of wheat: a review. Life Sciences and Medicine Research 22: 1-10.
- Kumari, K., Warepam, M., Bansal, A.K., Dar, T. A., Uversky, V.N. & Singh, L.R.** 2022. The gut metabolite, trimethylamine N-oxide inhibits protein folding by affecting cis-trans isomerization and induces cell cycle arrest. Cellular and Molecular Life Sciences 79: 1-16.
- Liang, G., Pu, Y., Yin, L., Liu, R., Ye, B., Su, Y. & Li, Y.** 2009. Influence of different sizes of titanium

- dioxide nanoparticles on hepatic and renal functions in rats with correlation to oxidative stress. *Journal of Toxicology and Environmental Health* 72: 740-745.
- Ma, C., Borgatta, J., De La Torre-Roche, R., Zuverza-Mena, N., White, J.C., Hamers, R.J. & Elmer, W.H.** 2019. Time-dependent transcriptional response of tomato (*Solanum lycopersicum* L.) to Cu nanoparticle exposure upon infection with *Fusarium oxysporum* f. sp. lycopersici. *ACS Sustainable Chemistry & Engineering* 7: 10064-10074.
- Nair, P.M.G. & Chung, I.M.** 2014. Assessment of silver nanoparticle-induced physiological and molecular changes in *Arabidopsis thaliana*. *Environmental Science and Pollution Research* 21: 8858-8869.
- Oussou-Azo, A.F., Nakama, T., Nakamura, M., Futagami, T. & Vestergaard, M.D.C.M.** 2020. Antifungal potential of nanostructured crystalline copper and its oxide forms. *Nanomaterials* 10: 1003. DOI: 10.3390/nano10051003.
- Pariona, N., Paraguay-Delgado, F., Basurto-Cereceda, S., Morales-Mendoza, J. E., Hermida-Montero, L. A. & Mtz-Enriquez, A.I.** 2020. Shape-dependent antifungal activity of ZnO particles against phytopathogenic fungi. *Applied Nanoscience* 10: 435-443.
- Parry, D.W., Jenkinson, P. & McLeod, L.** 1995. Fusarium ear blight (scab) in small grains-a review. *Plant Pathology* 44: 207-238.
- Pellan, L., Durand, N., Martinez, V., Fontana, A., Schorr-Galindo, S. & Strub, C.** 2020. Commercial biocontrol agents reveal contrasting comportments against two mycotoxicogenic fungi in cereals: *Fusarium graminearum* and *Fusarium verticillioides*. *Toxins* 12: 152. DOI: 10.3390/toxins12030152.
- Pourakbar, L. & EbrahimiZade, N.** 2014. Growth and physiological responses of *Zea mays* L. to Cu and Ni stress. *Applied Field Crops Research* 27: 147-159.
- Rajput, V., Minkina, T., Sushkova, S., Behal, A., Maksimov, A., Blicharska, E., Ghazaryan, K., Movsesyan, H. & Barsova, N.** 2020. ZnO and CuO nanoparticles: a threat to soil organisms, plants, and human health. *Environmental Geochemistry and Health* 42: 147-158.
- Rastegaran, M. M., Hassanpour, H. & Ziyadi, H.** 2022. Synthesized Fe3O4 nanoparticles induced antioxidant activity and total phenolic and flavonoid content in *Matricaria chamomilla* seedlings. *Iranian Journal of Plant Physiology* 12: 4003-4011.
- Saharan, V., Sharma, G., Yadav, M., Choudhary, M.K., Sharma, S.S., Pal, A., Raliya, R., Biswas, P. & Biswas, P.** 2015. Synthesis and in vitro antifungal efficacy of Cu-chitosan nanoparticles against pathogenic fungi of tomato. *International Journal of Biological Macromolecules* 75: 346-353.
- Scherm, B., Balmas, V., Spanu, F., Pani, G., Delogu, G., Pasquali, M. & Miqheili, Q.** 2013. *Fusarium culmorum*: causal agent of foot and root rot and head blight on wheat. *Molecular Plant Pathology* 14: 323-341.
- Smart, R.E. & Bingham, G.E.** 1974. Rapid estimates of relative water content. *Plant Physiology* 53: 258-260.
- Soltani, E., Rajabian, T., Abrishamchi, P. & Tali, D.** 2016. Physiological and biochemical responses of (*Melissa officinalis*) to nickel stress and the protective role of salicylic acid. *Archives of Agronomy and Soil Science* 63: 330-343.
- Spanos, A., Athanasiou, K., Ioannou, A., Fotopoulos, V. & Krasia-Christoforou, T.** 2021. Functionalized magnetic nanomaterials in agricultural applications. *Nanomaterials*. 11: 3106. DOI: 10.3390/nano11113106.
- Swapnil, P., Meena, M., Singh, S.K., Dhuldhaj, U. P. & Marwal, A.** 2021. Vital roles of carotenoids in plants and humans to deteriorate stress with its structure, biosynthesis, metabolic engineering and functional aspects. *Current Plant Biology* 26: 100203. DOI: 10.1016/j.cpb.2021.100203.
- Terzi, R. & Kadioglu, A.** 2006. Drought stress tolerance and the antioxidant enzyme system. *Acta Biologica Cracoviensis Series Botanica* 48: 89-96.
- Tiwari, S.K., Sahoo, S., Wang, N. & Huczko, A.** 2020. Graphene research and their outputs: Status and prospect. *Journal of Science: Advanced Materials and Devices* 5: 10-29.
- Tzvetkova, N. & Kolarov, D.** 1996. Effect of air pollution on carbohydrate and nutrients concentrations in some deciduous tree species, Bulg. *Journal of Plant Physiology* 22: 53-63.
- Velikova, V., Yordanov, I. & Edreva, A.** 2000. Oxidative stress and some antioxidant systems in acid Rain-treated bean plants: Protective role of exogenous poly-amines. *Plant Science* 151: 59-66.
- Viet, P.V., Nguyen, H.T., Cao, T.M. & Hieu, L.V.** 2016. Fusarium antifungal activities of copper nanoparticles synthesized by a chemical reduction method. *Journal of Nanomaterials* 2016. DOI: 10.1155/2016/1957612.
- Wagacha, J.M. & Muthomi, J.W.** 2007. *Fusarium culmorum*: Infection process, mechanisms of mycotoxin production and their role in pathogenesis in wheat. *Crop Protection* 26: 877-885.
- Winter, R.S., Yan, J., Busche, C., Mathieson, J.S., Prescimone, A., Brechin, E. K., Long, D.L. & Cronin, L.** 2013. Nanoscale control of polyoxometalate assembly: a {Mn8W4} cluster within a {W36Si4Mn10} cluster showing a new type of isomerism. *Chemistry—A European Journal* 19: 2976-2981.
- Wu, Z.P., Caracciolo, D.T., Maswadeh, Y., Wen, J., Kong, Z., Shan, S., Hopkins, E., Park, K., Sharma, A., Ren, Y., Petkov, V., Wang, L. & Zhong, C.J.** 2021. Alloying-reallying enabled high durability for Pt-Pd-3d-transition metal nanoparticle fuel cell catalysts. *Nature Communications* 12: 1-14.
- Yu, Z., Li, Q., Wang, J., Yu, Y., Wang, Y., Zhou, Q. & Li, P.** 2020. Reactive oxygen species-related nanoparticle toxicity in the biomedical field. *Nanoscale Research Letters* 15: 1-14.
- Zakharova, O., Kolesnikov, E., Shatrova, N. & Gusev, A.** 2019. The effects of CuO nanoparticles on wheat seeds and seedlings and *Alternaria solani* fungi: in vitro study. In IOP Conference Series: Earth and Environmental Science 226: 012036.

Zuverza-Mena, N., Medina-Velo, I.A., Barrios, A.C., Tan, W., Peralta-Videa, J.R. & Gardea-Torresdey, J.L. 2015. Copper nanoparticles/compounds impact

agronomic and physiological parameters in cilantro (*Coriandrum sativum*). Environmental Science: Processes & Impacts 17: 1783-1793.

How to cite this article:

Ganjeali, V., Cheniany, M., Taheri, P., Mazaheri-Tirani, M. 2022. Evaluation of antifungal activity of nano and bulk forms of copper oxide in wheat (Roshan cultivar). *Nova Biologica Reperta* 10: 33-46. (In Persian).

گنجعلی، و.، چنیانی، م.، طاهری، پ.، مظاہری تیرانی، م. ۱۴۰۲. ارزیابی فعالیت ضدقارچی فرمهای نانو و توده‌ای مس اکسید در رقم روشن گندم. یافته‌های

نوین در علوم زیستی ۱۰: ۳۳-۴۶.